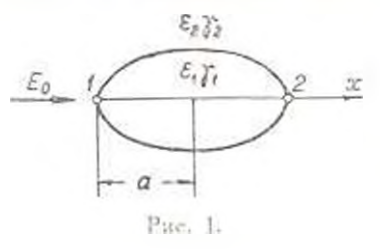
DJII KEPOTI VHRKA

м. А. КАРАПЕТЯН, В. А. ГРИГОРЯН, В. В. АРУТЮНЯН

В КЛОП ОПОННЯЮТЭОП ЭННАКЭДЭЧЭПЭМИЗИНОВ В МОНЭЧЭПЭМЬ ВКЛЮБЕНИЯМИ МОЛАМ ЙОКАМ ВКЛЮЧЕНИЯМИ МОЛАМ ЙОКАМ ВКЛЮЧЕНИЯМИ МОЛАМ ВКЛЮЧЕНИЯМИ МОЛАМ ВКЛЮЧЕНИЯМИ МОЛАМ ВКЛЮЧЕНИЯМИ МОЛАМ ВКЛЮЧЕНИЯМИ МОЛАМ ВКЛЮЧЕНИЯМИ МОЛАМ ВКЛЮЧЕНИЯМИ ВКЛЮЧЕНИЯМИ ВКЛЮЧЕНИЯМИ ВКЛЮЧЕНИЯМИ ВКЛЮЧЕНИЯМИ ВКЛЮЧЕНИЯМИ ВКЛЮЧЕНИЯМИ ВКЛОЧЕНИЯМИ ВКЛОЧЕНИЕМИ ВКЛОЧЕНИЕМИ ВКЛОЧЕНИЕМИ ВКЛОЧЕНИ ВКЛОЧЕНИЕМИ ВКЛОЧЕНИЕМИ ВКЛОЧЕНИЕМИ ВКЛОЧЕНИЕМИ ВКЛОЧЕНИЕМИ ВКЛО

В момени приложения постоянного напровления на образец электрическое распределяется между участвами межалестридоого пространства пропорционально из двалектрическия провицьемостим и некогорому геометрическому растору. Со временем поле перевениределяется, и в и пространстве определение уже проводимостими участков. И пестем расчет перераспределения по времени постоянного поля в сложетом двалектрите, нагодященся поле имоские конделентора [1]. Однаке опетествующия расчет для дисперсной виделими с расченией формов индеревение отсутствует В статье приводитея расчет не сватпределения постоянного поля в дисперсной встеме с вданнеокультения педмествами.

Пусть ил пространства с дисперсной системой выдолен участоксодержащий одно эллинсондальное вимочение (с нараметрами — д), размеры которого намного меньше размеров участия. Это условие может иметь место при малой концентрации пилочений. Пусть при отсутствии плансонда созданное постоянное поле в дисперсионной среде (с нараметрами — участия однородное и имеет наприженность — Вследствие малой концентрации видочений изанимиым янд инем плавризованиям плансондов можно пр- небречь и нолем, действующим на вилючение, будем счита поле Е. Предположим также,



ато вектор плиряженности E_n , главная ось валинсонда и ось и девертовой координатной системы совпадают по направлениям (рис. 1). В реслучых условиях валинсондальные шключения в дисперсной системе распределены уготично до подачи напряжения на влектроды. После подачи напряжения поляризованные

нключения под действием инешнего поля начинают ориентироваться своими длинными осями по направлению этого поля. Если изяимное наизние соседних поляризованных включений пренебрегается, а среды мала, то ориентация включения произойдет миновенно. Здесь рассматринается именно этот частный случай. Согласно [2], миновение напряженность поля вестры и вне эллинсовда (в т чке 1 или 2) обределится по выражениям:

$$E_{vir}(0) = \frac{1}{\epsilon_2 + (\epsilon_1 - \epsilon_1) N_a}$$

$$E_{vir}(0) = \frac{1}{\epsilon_2 + (\epsilon_1 - \epsilon_2) N_a}$$
(1)

где Nx - коаффициент деполяризации вдоль оси х (2, 3):

$$N_1 = \frac{abc}{2} \int_0^1 \frac{ds}{(s + a^2)^{1/2} (s - b^2)^{1/2} (s - c^3)^{1/2}}.$$
 (2)

Злесь 2a, 2b и 2c размеры эллинсонда наоль осей x, y, z. После небольших преобразований (1) можно придат ви :

$$E_{a+}(0) = E_{a} + \frac{1}{4\pi a^{3}};$$

$$E_{a+}(0) = E_{a} + \frac{1}{N_{a}} \frac{1}{4\pi a^{3}};$$
(3)

где

$$P_{\infty}(0) = 4\pi a^3 z_1 N_0 \frac{1}{z_2 + 1 + 1 + 1 + 2} E_0. \tag{3}$$

Под $P_{**}(0)$, а в общем виде под $P_{**}(t)$, подразумевается электрический момент поляризованного эллипсоида или момент эквивалентного точечного диполя, помещенного в центре эллипсоила. В общем пиде для полей внутри и вне эллипсоида (в точках / и 2) имеем:

$$E_{-1}(t) = E_{0} - \frac{P_{-1}}{4 - \alpha^{3} s_{0}}$$

$$E_{-1}(t) = E_{0} - \frac{1 - N_{0}}{4 - \alpha^{3} s_{0}}$$
(5)

В (5) неизвестным является $P_{++}(t)$. Для его определения поспользуемся граничным условнем для плотиостей полных токов, записанных для точки I или 2:

$$\gamma_1 E_m(t) + \varepsilon_1 \frac{dE_m(t)}{dt} = \gamma_1 E_m(t) - \varepsilon_2 \frac{dE_m(t)}{dt}$$
 (6)

Подставив (5) в (6), получаем дифференциальное уравнение

$$\frac{dP}{dt} \left[\varepsilon_2 + (\varepsilon_1 - \varepsilon_2) N_x \right] + P_{tt} \left[\gamma_2 + (\gamma_1 - \gamma_1) N_t \right] = 4\pi \alpha + N_t \left[-\frac{1}{2} + \frac{1}{2} N_t \right]$$
 (7)

Здесь постониная времени установления поля

$$= \frac{1}{\tau_2 + (\tau_1 - \tau_2) N}. \tag{9}$$

$$m_1 = \frac{1}{1 + (1 - \epsilon_1)N} \qquad n_1 = \frac{1}{1 + (1 - \epsilon_1)N}. \tag{10}$$

Таким образом, поле будет перераспределяться согласно уравневиям:

$$E_{\text{non}}(t) = \{1 - n_1 N_1 - N_2 (m_1 - n_1) e^{-t} \mid E_0;$$

$$E_{\text{non}}(t) = [1 + (1 - N_1) n_1 + (1 - N_2) (m_1 - n_1) e^{-t} \mid E_0.$$
(11)

Рассмотрим частные случаи сферы, диска и иглы. В случае сферы A 13, тогда

$$P_{-}(t) = 4\pi a + [(m - n)e - n] E_{c},$$
 (12)

rge

$$\eta = \frac{\varepsilon_1 + 2\varepsilon_2}{\gamma_1 + 2\gamma_2}; \quad m = \frac{\varepsilon_3 - \varepsilon_2}{\varepsilon_1 + 2\varepsilon_2}; \quad n = \frac{\gamma_1 - \gamma_2}{\gamma_1 + 2\gamma_2};$$

При этом для напряженностей получаем:

$$E_{nn}(t) = [1 - n - (m - n)e^{-\frac{t}{2}}]E_0;$$

$$E_{nn}(t) = [1 - 2n - 2(m - n)e^{-\frac{t}{2}}]E_0.$$
(13)

В случае диска, перпендикулярного к оси, $N_{\rm c}=1$. В этом случае

$$E_{\rm eff}(t) = [1 - n_0 - 1m_0 - n_1)e^{-tt} = E_{\rm eff}(t) = E_0 = \text{const.}$$

Здесь

$$m_1 = \frac{z_1 - z_2}{z_1}$$
; $m_2 = \frac{z_1}{z_2}$; $z_3 = \frac{z_1}{z_1}$.

Aля иглы $N_{\parallel}=0$. Подстаняв это значение в (11), получим:

$$E_{-1}(t) = E_0 = \text{const.}$$

$$E_{-1}(t) = [1 + n] = (m - n)e^{-\frac{t}{2}} [E_0,$$
(15)

FAC

$$\tau_i = \frac{t_1}{t_2} + m_i = \frac{t_1 - t_1}{t_2} + m_i = \frac{t_1 - t_2}{t_2}$$
.

Выражения (6) и (11) дают возможность определить плотность полного тока на вершине эллипсоида:

$$\delta(t) = \gamma_1 (1 - n_1 N_A) E_n - \left(- - \gamma_1 \right) (m_1 - n_1) N_1 E_n e^{-t}.$$
 (16)

Первая составляющая (16) является плотностью остаточного тока, а вторая плотностью тока абсорбции.

Выводы

- Получены формулы перераспределения постоянного электрического поля и дисперсной системе с эллипсоидальными включениями.
- 2. Получена формула для электрического момента эллинсоида, которая может быть использована в дальнейшем для расчета диэлектрической провицаемости дисперсной системы.
- 3. Определены плотности остаточного и абсорбционного токов на вершине эллипсоида.

Ереванский политехнический институт
пм К. Маркса

Послупнае 29.У 1970.

H. H. GRERESSILL, Q. H. TEPPRESILL, Q. Q. 200000 SHOLSRG

ՀԱՍՏԱՏՈՒՆ ԳԱՇՏԻ ՎԵՐԱԲԱՐԱՅՈՒՐԸ ՓՈՔԲ ԿՈՆՑԻՆՏՐԱՑԻԱՅԻ ԷԼԻԿՍՈՒԳԱԼ ՆԵՐԱՌՈՒՄ ԵՐՐԵՐ ԻՐՄԵՐԵՐ ԱՐՈՒՄԵՐ ԵՐՐԵՐԵՐԵՐ ԵՐԻՆԵՐԵՐ

Ենրասայանի փարր կոնդենարացիայի գեպրում Հարևան լնենաաված հրասայան առանդի փոխազդեցությունը կարելի է արձ առո՞նլ, որուն ար հրանց մերի հեռավորությունը շատ մեծ է սեփական ամել ենչդ դրայսաններում էլիպսոիդին ընհռացնող դաշար հավասար է դիսպերս և իջավա Համասես դաշաին, և դաշար թաշխումը սիստեմե կոմպոնենաներն միջև առաջին ակնքնարքին արձ այնունս, ինչպես գրանանությունից հայանի միաշնակ դիէլեկարիկ էլիպսոիդի էլենարաստատիկ դաշար դեպրում։ Սակայն ժամանակի ընթացրում դաշար ռետլ դիսպերս միջավայրի և լիպայայի ապորդականությունների ազդեցության տակ վերարայիսիում

Աշխատանրում հաշվված է ժամանակի ընքացրում հասատան դաջար վերաբաշխման օրենքը, որոչված է կլիաստիդի կլեկարական մոսենաի բա նաձևը։ Գանված են համապատասխան բանաձևեր գնդի, սկավառուկի և տսեղն մաստվար դեպքիրի համար։

JHIIIPALYPA

- 1. Спомина Г. И. Физика дираектриков ГИТТА, 1949.
- 2 Стратион Де. 4. Теория въектромогие изма ОГИЗ Гостехиял п. 1948.
- 3. Нетушил А. 13 и др. Высокочастотный илирен диалектрино и полупроводников Госанергонадат 1950.